

1. まえがき、局所洗掘のアプローチとして、step-by-step method, equilibrium-conditional method の 2 つの方法を提案した。水制周辺の洗掘について固定床実験の結果に基いて、これら 2 つの方法に従って展開する。

著者は Fig. 1 の狭窄部の洗掘について既に発表したが、Fig. 2 の水制は Fig. 1 の特殊な Type [K_a=∞] と見なす、Fig. 1 の局所流の性質は Fig. 2 の局所流の第 1 近似解とみなす想定のもとに展開する。

2. 固定床実験、使用水路は $b_0 = 38.9\text{cm}$ 、水制は厚さ 1.0cm 、次の実験条件で $x=0$ の断面の底流速を外径 3.0mm のビト管によって測定した。

Table 1. Experimental Conditions [2]

| Size of Spur Dike : d (cm) | 0, 2, 4, 6 |
|---|---------------|
| Discharge : Q (l/s) | 8, 10, 12, 14 |
| Froude Number of Normal Flow : F _n | 0.1, 0.2, 0.3 |

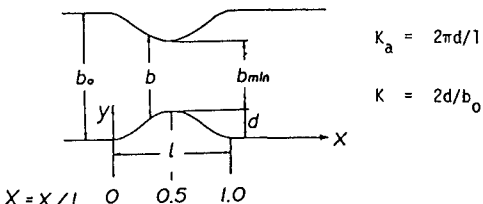


Fig. 1. Sketch of contraction part

3. Step-by-step method

洗掘発生限界に最も効果的な因子の 1 つである、最大底流速に注目し、Fig. 1 の $X=0.5$ の断面の右流速は一般に次のように示される [1]。

$$\frac{U_n}{2\bar{U}_b}(1-K) = F(F_n, R_e, K), \quad R_e = U_c d / \nu$$

一般に平均底流速 \bar{U}_b と最大底流速 U_b は正比例す
る。Fig. 2 の $x=0$ の断面の最大底流速の第 1 近似解は次のように想定される、左の U_b は最大底流速。

$$\frac{U_n}{2\bar{U}_b}(1-K) = F(F_n, R_e, K); \quad F_n = U_n / g b_n, \quad R_e = U_c d / \nu, \quad K = 2d/b_0. \quad (1)$$

添字 n は水制設置部先断面の normal flow の物理量である、式 (1) に基づいて無次元最大底流速 (U_b) の R_e の効果、 F_n の効果について検討する。

a) R_e の効果; $U_n/2\bar{U}_b(1-K) \propto R_e$ との関係は実験値をプロットすると Fig. 3 が得られる、より次の関係が得られる。

Parameter : F_n

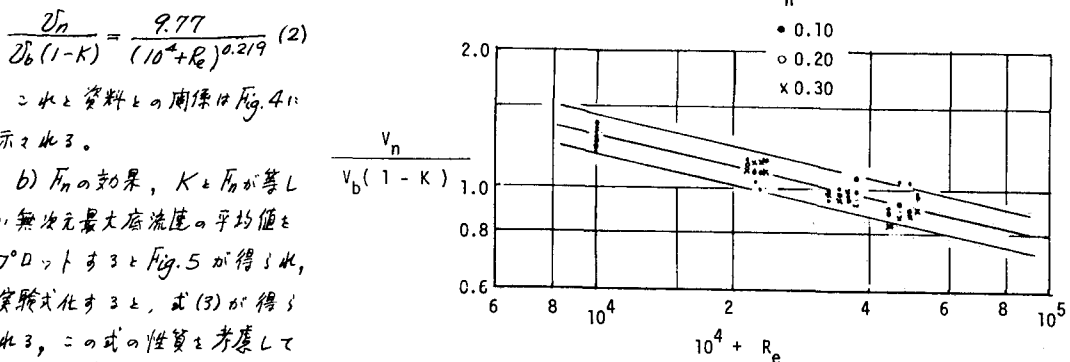


Fig. 3. Relationship between dimensionless maximum bed velocity and Reynolds number

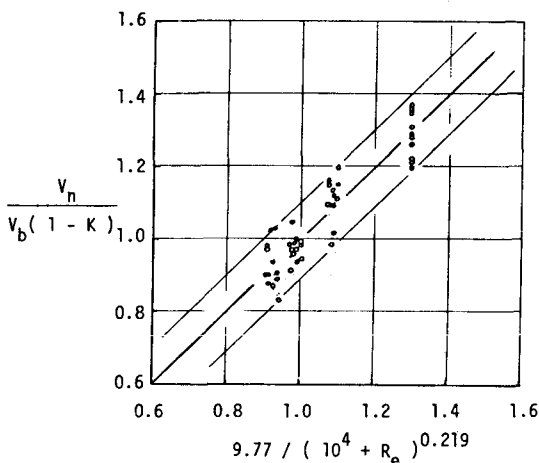


Fig.4. Relationship between dimensionless maximum bed velocity and Reynolds number

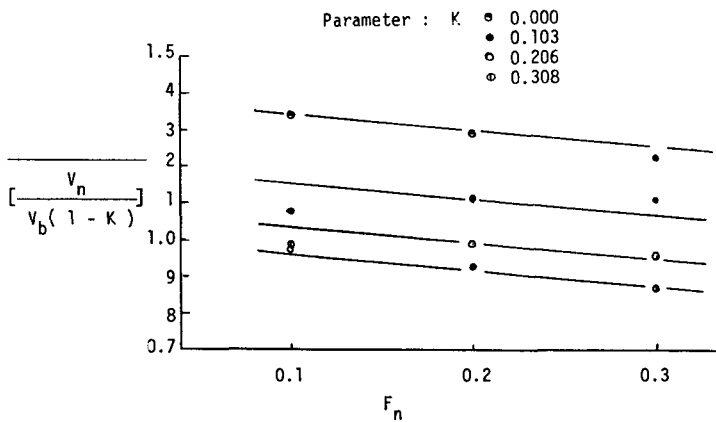


Fig.5. Relationship between mean value of dimensionless maximum bed velocity and Froude number

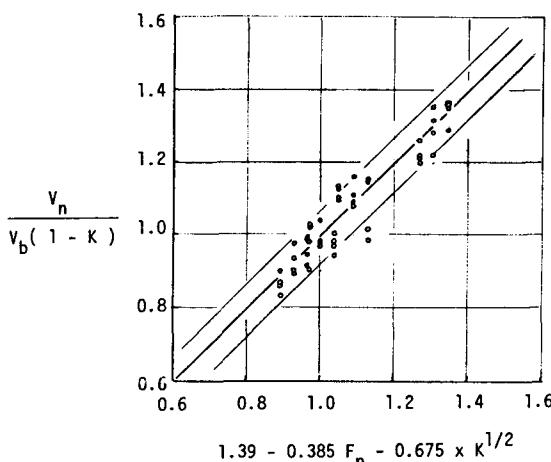
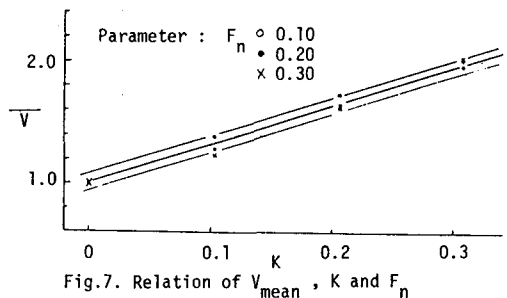


Fig.6. Relationship between dimensionless maximum bed velocity and Froude number



$$\left\{ \frac{V_n}{2b(1-K)} \right\} = 1.39 - 0.385 F_n - 0.675 K^{1/2} \quad (3)$$

の1/2を取ることによって元の式が得ることが理解される。Fig. 4とFig. 6の比較からFig. 6の関係がより多くの考慮される。

式(3)のパラメータの値にて、その式は次のようになら。

$$\begin{aligned} \frac{a_1}{2b(1-K)} &= (1.39 - 0.385 \sqrt{K}) H_n \\ &\quad - 0.385 (\alpha H_n)^{1/2} \quad (4) \\ &\Rightarrow H_n = h_n / R_c, a_1 = (Qg/d_b)^{1/2} \end{aligned}$$

4. Equilibrium-conditional method

Regime Theoryの概念を適用すればアプローチであるが、水制導の単位中当たりの流量は局所流の性質を考慮するに次のようになった。

$$q_s = \frac{Q}{b_o - 2d} = \frac{Q/b_o}{1 - K} = \frac{q}{1 - K}$$

局所流の性質として最大床流速を加味すると q_s は次のようになる。

$$q_s = k_s q / (1 - K), k_s: \text{補正係数} \quad (5)$$

k_s は $K=0$ と $K=1.0$ を無次元数で次のように仮定する。ただしこれは常数とする。

$$k_s = V^{\alpha}, V = 2b / 2d, 2d = (2b)_{K=0} \quad (6)$$

V の平均はFig. 7によつて示され、 ≈ 4.0 m/s一般に V は次のようになら。

$$V = 1 + 3.18 K \quad (7)$$

式(4)と式(5),(6),(7)によつて、水制導の流れ現象がアプローチされる。

(1) 要深: 1955, 56年調査, [2] 須島勝, 小森実, 稲本正史, 佐藤孝, 鈴木敏之著の修正並びに平野研究室の実験で, 資料の使用にあたり諸氏に厚く御礼申し上げます。